

2.3 动态断裂力学



特征：

- 惯性效应
 - 应力波效应
 - 应变率敏感效应
 - 绝热效应
- 影响力学参数
- 影响材料参数

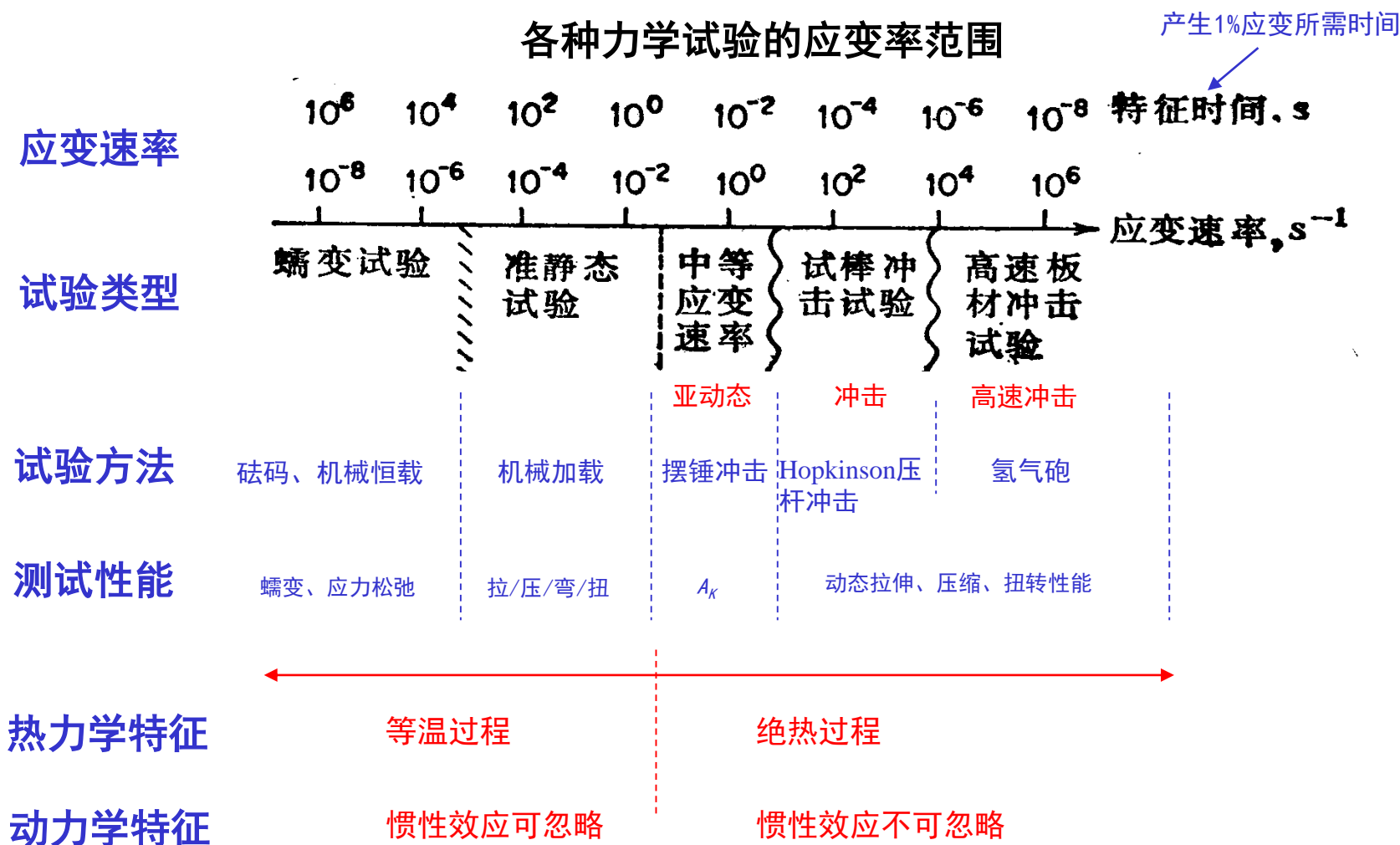
问题：

- 在高速加载下，静态（初始）裂纹的起裂（冲击断裂）
- 在静态或动态载荷下，裂纹快速扩展（运动裂纹）

2.3.1 冲击断裂



各种力学试验的应变率范围



2.3.1 冲击断裂



- 应力波
- 惯性效应
- 冲击断裂韧度 (动态断裂韧度之一)

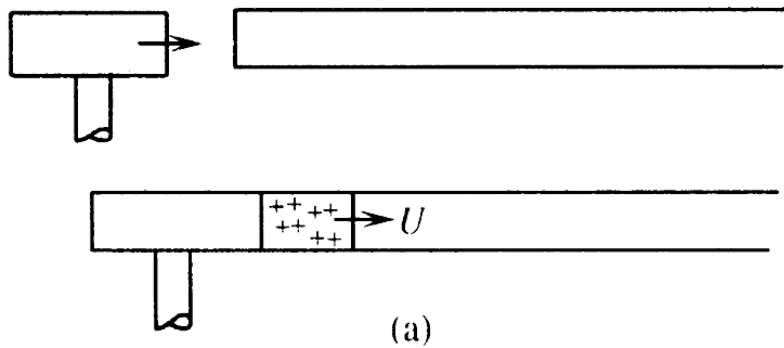
2.3.1.1 应力波



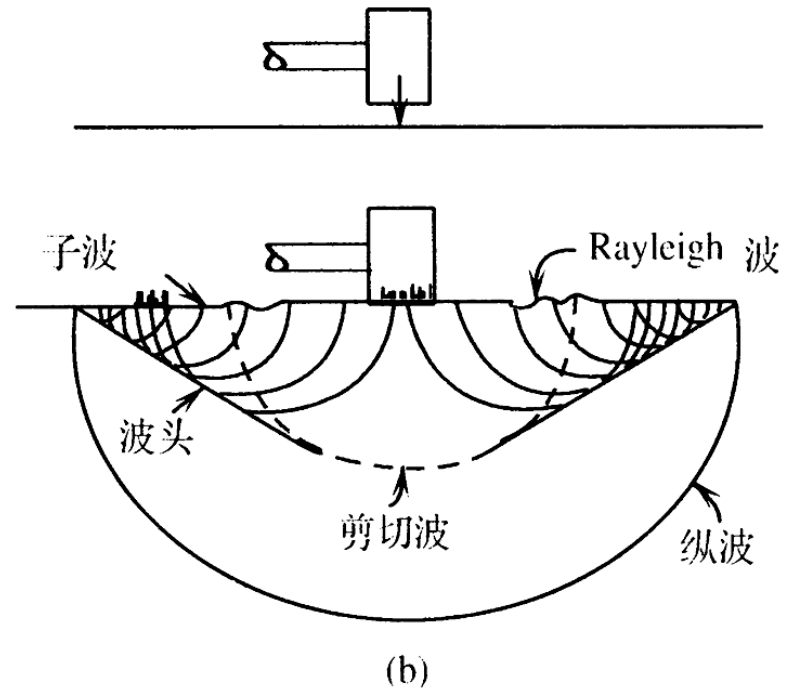
当物体的局部位置受到冲击时，物体内部质点的扰动会向周围地区传播开，此即应力波的传播。

- 质点运动方向平行于波的传播方向的称为纵波
 - **压缩波**：质点运动方向与波的传播方向相同；
 - **拉伸波**：质点运动方向与波的传播方向相反；
- 质点运动方向与波的传播方向相互垂直的应力波称为横波
- 质点的纵向运动和横向运动结合起来的应力波称为复合波

波的类型示意图



(a)



(b)

(a) 锤冲击细长杆；(b) 锤冲击半无限体。

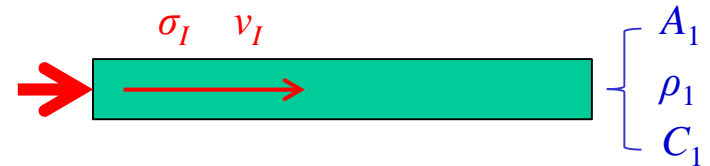
注意纵波、剪切波和 Rayleigh 波的形成。纵波和自由面发生相互作用，形成包含头波的子波。

波速大小排序： $C_L > C_T > C_R$



(1) 弹性应力波 (一维)

设：在 $t < 0$ 时静止， $t = 0$ 时杆端突然施加沿轴向 (x) 载荷，引起应力波，应力波通过时质点位移为 u ，速度为 v 。



基本假设：

- 横截面保持平面，泊松效应不计，沿截面只有均布轴向应力，即所谓“一维应力波”；
- 应力为应变的单值函数。

则波动方程为： $\frac{\partial v}{\partial t} = C_L^2 \frac{\partial \varepsilon}{\partial x}$ 或 $\frac{\partial^2 u}{\partial t^2} = C_L^2 \frac{\partial^2 u}{\partial x^2}$

式中， $C_L = \sqrt{\left(\frac{d\sigma}{d\varepsilon}\right) / \rho}$ 对弹性杆： $\frac{d\sigma}{d\varepsilon} = E$ ，则 $C_L = \sqrt{\frac{E}{\rho}}$

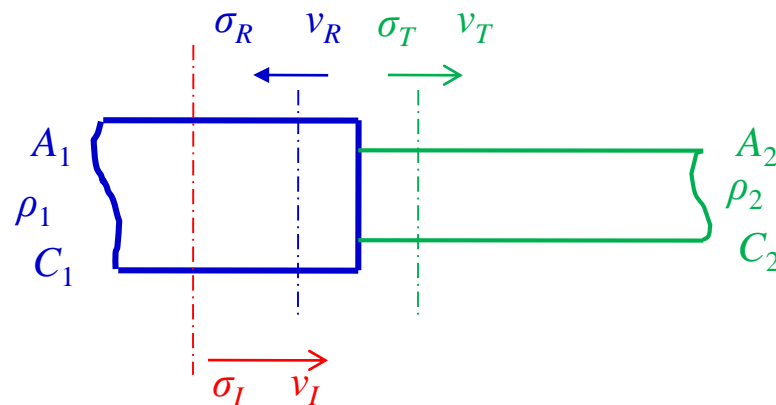
复合杆弹性应力波的反射及透射



根据波动力学可求出：

$$\sigma_T = \frac{2A_1\rho_2C_2}{A_2\rho_2C_2 + A_1\rho_1C_1} \sigma_I$$

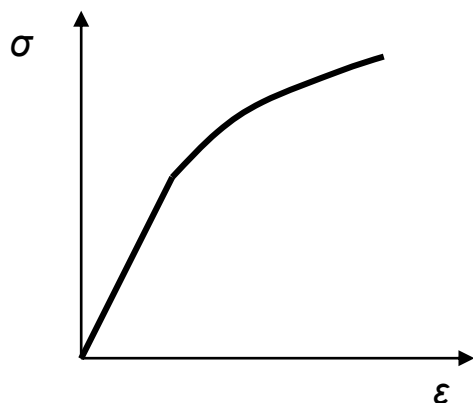
$$\sigma_R = \frac{A_2\rho_2C_2 - A_1\rho_1C_1}{A_2\rho_2C_2 + A_1\rho_1C_1} \sigma_I$$



在不同截面、不同材质所组成的复合杆中的应力传播

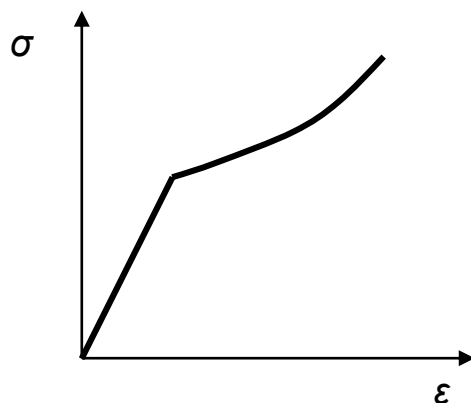
- **自由端反射：** $A_2=0$ ，则 $\sigma_R=-\sigma_I$ ，表明应力波在自由端反射后应力改变了符号，原压缩波成为拉伸波；
- **固定端反射：** $A_2\rightarrow\infty$ ，则 $\sigma_R\rightarrow\sigma_I$ 、 $\sigma_T\rightarrow 0$ ，表明应力波在固定端反射时应力与入射时相同，所以杆端总应力加倍。

(2) 弹塑性应力波



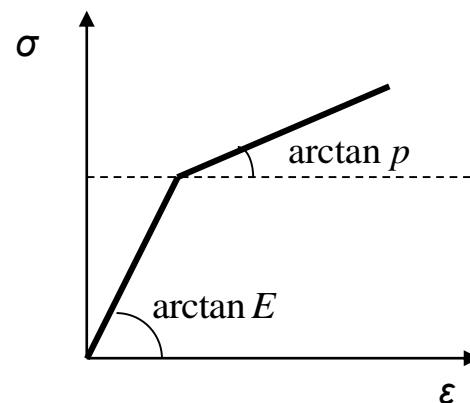
递减硬化材料

随应变 增大，波速逐渐减小，波形越来越平坦，称为**弥散波**



递增硬化材料

随应变 增大，波形逐渐缩短，称为**会聚波**。会聚波最后必将形成陡峭的波阵面，成为**冲击波**



线性硬化材料

为理想情形，有两个应力波在传播：

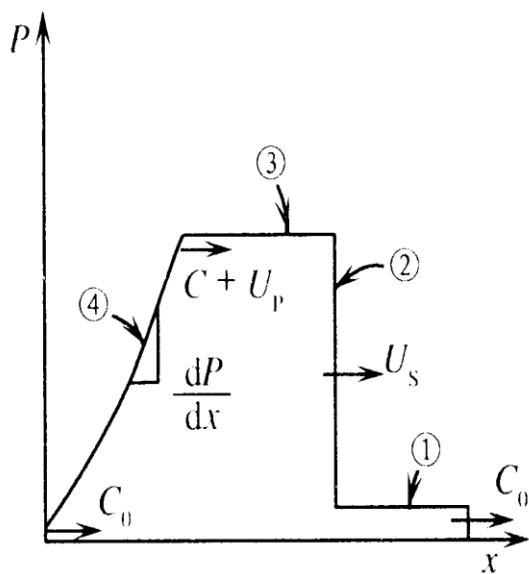
弹性波： $C_e = \sqrt{\frac{E}{\rho}}$

塑性波： $C_p = \sqrt{\frac{p}{\rho}}$

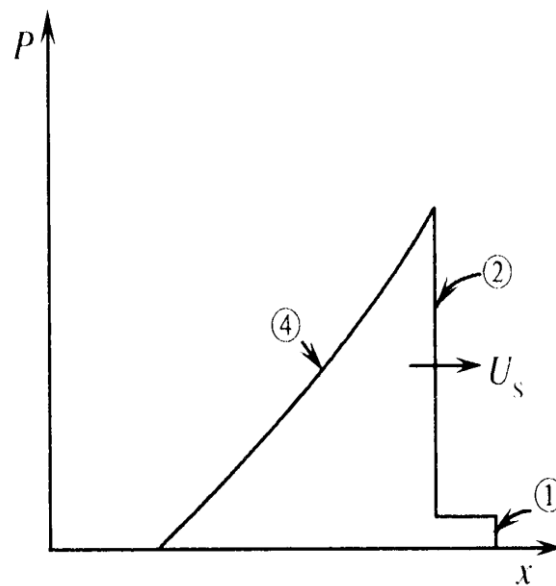
(3) 冲击波



- 应力波的振幅大大超过材料的动态屈服强度；
- 介质被约束，不允许有横向流动，压缩应力状态与流体静力学压缩状态相似，波传过材料后不改变宏观尺寸；
- 波阵面变得“**陡峭**”；



(a) 由板撞击产生的冲击波(梯形);



(b) 由炸药爆炸或激光脉冲产生的冲击波(三角形)。

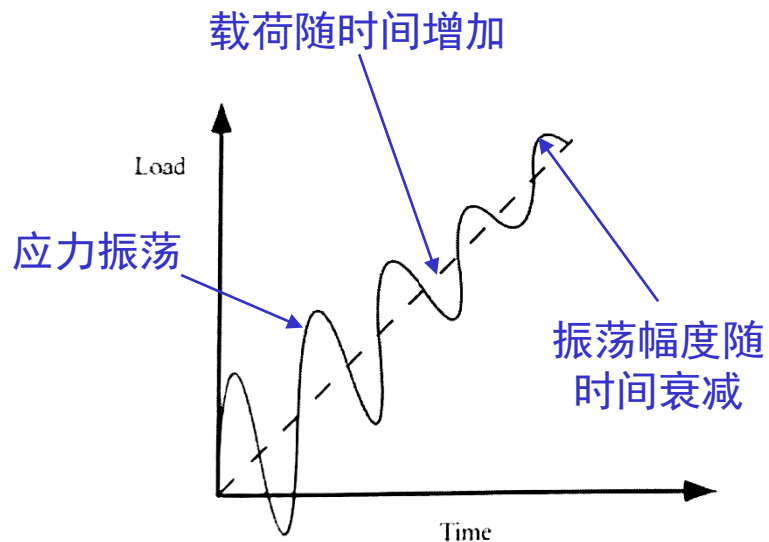
C_0 —弹性波波速

U_s —冲击波波速

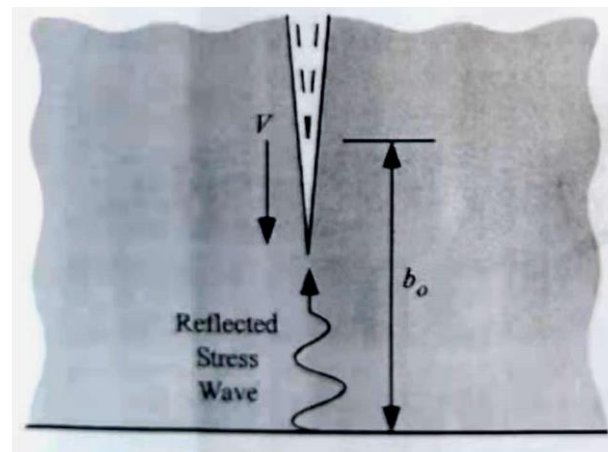
U_p —质点速度

P —压力

2.3.1.2 惯性效应



动态加载初期载荷-时间响应示意图



应力波反射到裂纹尖端的示意图

$$\sigma_{ij} = \frac{K_I(t)}{\sqrt{2\pi r}} f_{ij}(\theta) \quad (1)$$

在应力振荡及有应力波反射的情况下，不可能由远场载荷准确计算 K

三点弯曲实验：

- 加载初期（短时），力学响应由应力波主导
- 中期（过渡阶段），惯性效应减弱
- 加载后期（长时间），力学响应类似于准静态

存在一个“转折时间 t_τ ”，当：

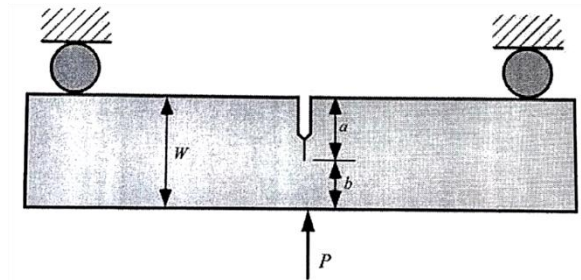
- $t < t_\tau$ 时，惯性效应（动能）主导
- $t > t_\tau$ 时，准静态（变形能）主导

Nakamura理论

$$\frac{E_k}{U} = \left[\Lambda \frac{W \dot{\Delta}(t)}{C_0 \Delta(t)} \right]^2 \quad (2)$$

动能 几何因子 加载线位移速率

变形能 纵波速度 加载线位移



Three-point bend specimen.

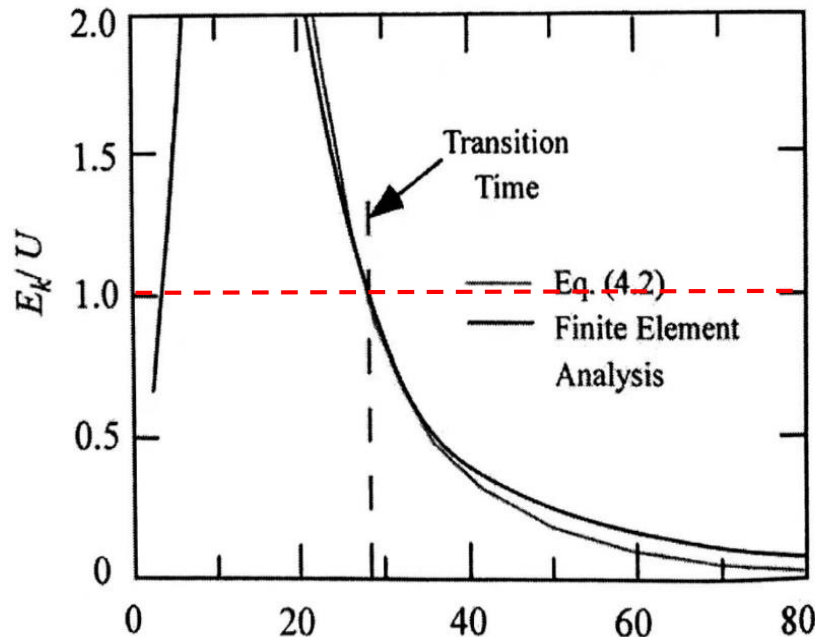
定义“动能与变性能相等的时间”为转折时间，并引入“无量纲位移系数”： $D = \frac{t \dot{\Delta}(t)}{\Delta(t)} \Big|_{t_\tau}$

则转折时间为：

$$t_\tau = D \Lambda \frac{W}{C_0} \quad (3)$$

设位移与时间为幂律关系： $\Delta = \beta t^\gamma$ ，则： $D = \gamma$

(E_k/U) 的试验及动态FEM计算的比较



实验及 (2) 式计算: $t_\tau \frac{c_1}{W} \approx 28$

动态有限元计算: $t_\tau \frac{c_1}{W} \approx 27$

无量纲时间轴

无限固体中的纵波波速

试样宽度

W/c_1 : 应力波横穿试样所需时间

$t c_1/W$: 应力波在 t 时间内横穿试样次数

当 $t_\tau \frac{c_1}{W} > 20$ 时, Nakamura模型与FEM分析符合较好。

三维动态弹塑性有限元分析



对深裂纹三点弯曲试样，当 $t \gg t_r$ 时，有：

$$J_{dc} = \frac{2}{Bb} \int_0^{\Omega(t^*)} M(t) d\Omega(t)$$

(4)

试样厚度

韧带宽度

弯矩

旋转角

当前时间

当 $t > 2t_r$ 时

$$\frac{J_{dc}}{J_{ave}} = \text{常数 (略大于1)}$$

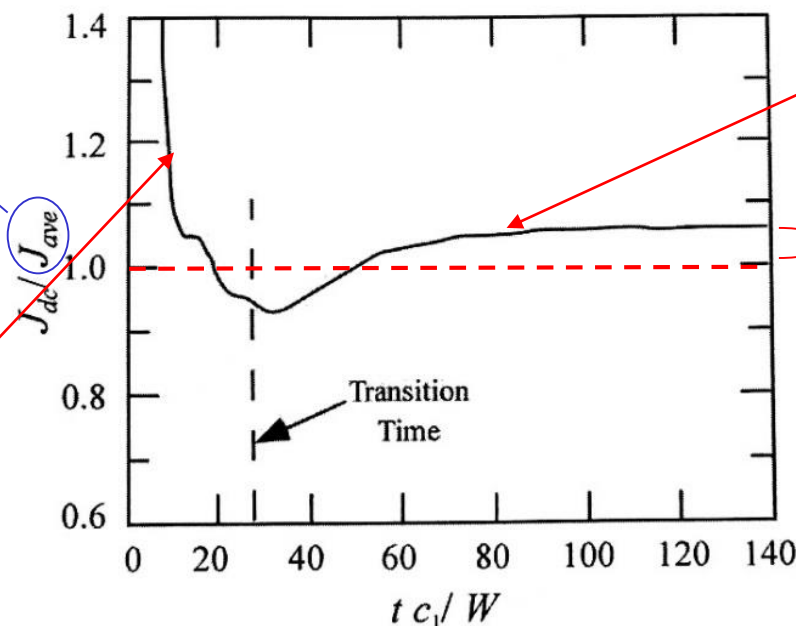
该差值是由三维效应
(非动态效应) 造成

结论： 当 $t > 2t_r$ 时，
动态 J 积分可由静态 J 积分计算。

三维FEM计算的全
厚度平均 J 积分

在冲击加载初期

$$J_{ave} \ll J_{dc}$$

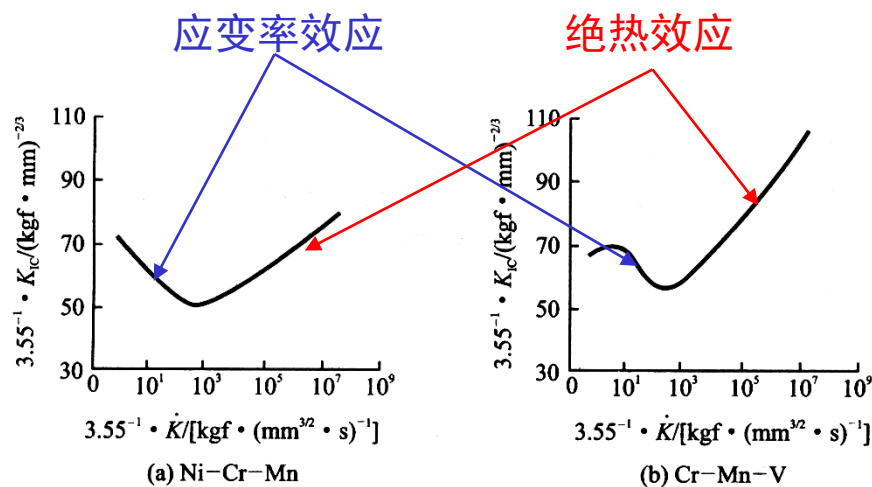


动态 J 积分与FEM计算全厚度平均 J 积分之比

2.3.1.3 冲击断裂韧性

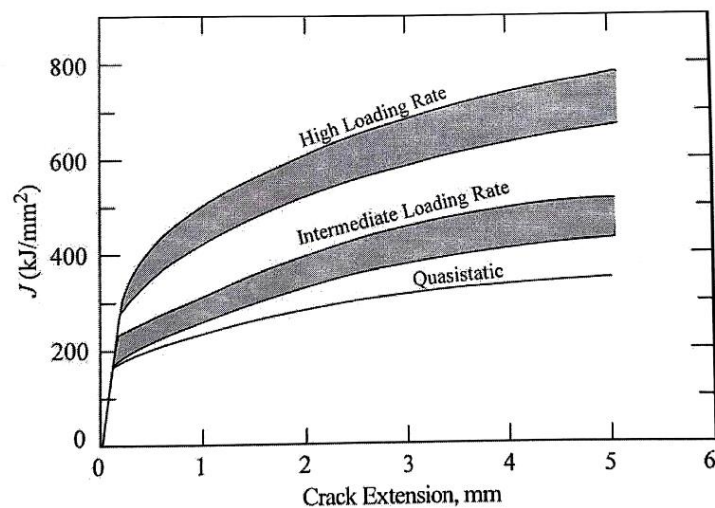


快速加载下的裂纹扩展阻力 K_{Id} ：以足够的加载速率施加载荷，裂纹开始起裂（断裂）时的应力强度因子值，因而是加载速率（ dK/dt ）的函数。



加载速率对两种钢 K_{Id} 的影响

脆性断裂（应力控制）



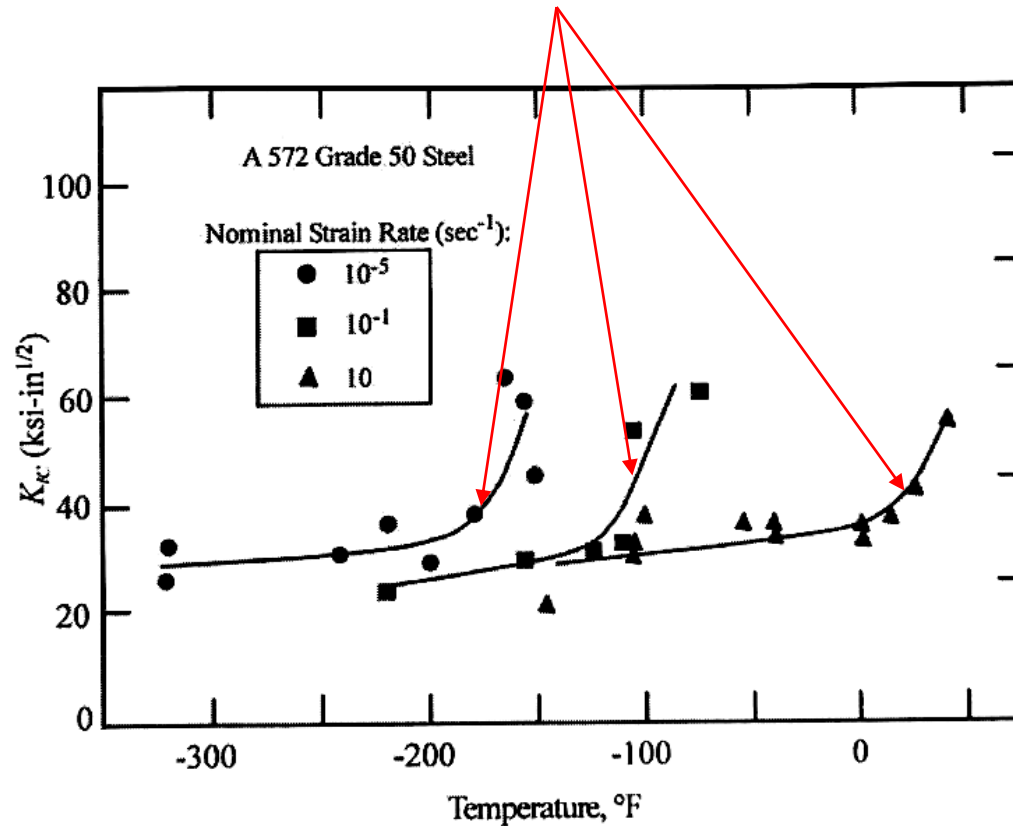
加载速率对HY80钢 J_R 曲线的影响

韧性断裂（应变控制）

温度对断裂韧度的影响



温度引起的韧脆转变，加载速率愈高，韧脆转变温度愈高



加载速率及温度对钢断裂韧度的影响

2.3.2 裂纹快速扩展（运动裂纹）



- 运动裂纹的速度
- 运动裂纹的断裂力学参量
- 运动裂纹的阻力（动态断裂韧度）
- 运动裂纹的分岔
- 运动裂纹的停止（止裂）

2.3.2.1 运动裂纹的速度

参见PDF讲义



当裂纹达到临界失稳扩展长度 a_c 时，由于裂纹扩展能量释放率 G 大于裂纹扩展阻力 R ，故多余能量 $(G-R)$ 将转化为裂纹扩展的动能 (E_k) 。因此， E_k 的大小决定了裂纹扩展速度的大小。

无限大弹性板中的动能：

$$E_k = \frac{1}{2} \frac{k \rho a^2 V^2 \sigma^2}{E^2}$$

裂纹扩展速度：

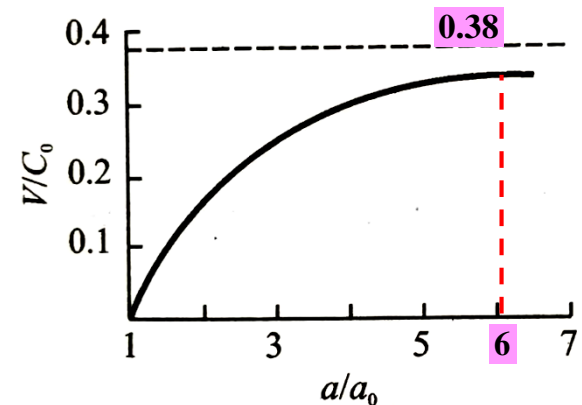
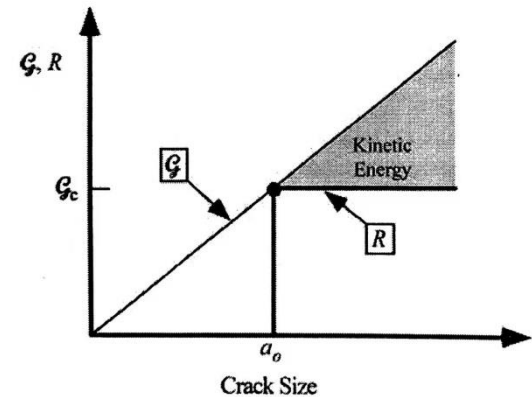
$$V = \sqrt{\frac{2\pi}{k}} \sqrt{\frac{E}{\rho}} \sqrt{1 - \frac{a_c}{a}}$$

$$\nu = 0.25$$

$$\sqrt{\frac{2\pi}{k}} = 0.38$$

$$\sqrt{\frac{E}{\rho}} = C_0$$

$$V = 0.38 C_0 \left(1 - \frac{a_c}{a}\right)^{\frac{1}{2}}$$



裂纹速度与长度的关系

2.3.2.2 运动裂纹的断裂力学参量 - K_I^d



动态应力强度因子可以分解成裂纹扩展速度函数 $k(V)$ 和静态应力强度因子 $K(0)$ 的乘积形式：

$$K_I^d = k(V) \cdot K(0)$$

$$k(V) = \frac{1 - V/C_R}{(1 - hV)^{1/2}}$$

$$h = \frac{2}{C_1} \left(\frac{C_2}{C_R} \right)^2 \left(1 - \frac{C_2}{C_1} \right)^2$$

依赖于瞬时裂纹长度、外加应力、裂纹扩展速度和裂纹扩展历史，也即 $K(0)$ 并非是与运动裂纹等长度的静态裂纹应力强度因子 K_I^s ，一般来说， $K(0)$ 小于 K_I^s 。

2.3.2.2 运动裂纹的断裂力学参量 - G_I^d



回路积分定义：

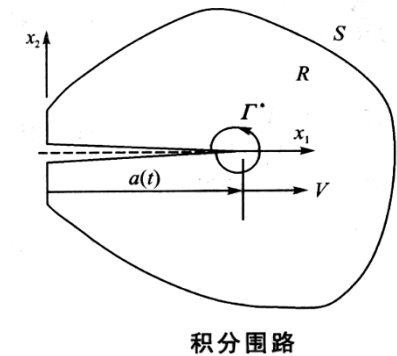
$$G_I^d = \lim_{\Gamma^* \rightarrow 0} \frac{1}{V} \int_{\Gamma^*} \left[\left(w + \frac{1}{2} \rho \dot{u}_i \cdot \dot{u}_i \right) V_n - T_i \cdot \dot{u}_i \right] ds$$

裂速

应变能密度

介质密度

裂速在 Γ^* 上的法向分量



积分围路

对无限介质而言， G_I^d 也可以分解为裂速函数 $g(V)$ 和静态因子 $G(0)$ 的乘积：

$$G_I^d = g(V) \cdot G(0)$$

$G(0)$ 不等于相应裂纹长度的静态能量释放率 G_I^s

$$g(V) = \frac{1-V}{C_R}$$

$$G_I(0) = \frac{1-\nu}{2\mu} \cdot [K_I(0)]^2$$

对等速扩展的裂纹，有：

$$G_I^d = \frac{1}{E'} \cdot (K_I^d)^2$$

2.3.2.2 运动裂纹的断裂力学参量 - J_I^d



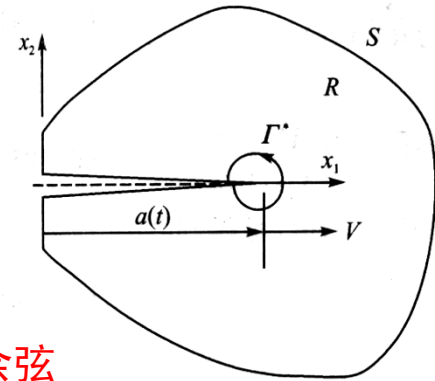
形变功密度

$$w^* = w_e + w_p$$

回路积分定义：

$$J_I^d = \lim_{\Gamma^* \rightarrow 0} \frac{1}{V} \int_{\Gamma^*} \left[\left(w^* + \frac{1}{2} \rho \dot{u}_i \cdot \dot{u}_i \right) V_n - T_i \cdot \dot{u}_i \right] ds$$

$$w^* = \int_0^{\varepsilon_{ij}} \sigma_{ij} d\varepsilon_{ij} = \int_{t_0}^t \sigma_{ij} \dot{\varepsilon}_{ij} dt$$



积分围路

裂纹恒速扩展时：

$$J_I^d = \int_{\Gamma} \left[\left(w^* + \frac{1}{2} \rho V^2 \frac{\partial u_i}{\partial x_1} \cdot \frac{\partial u_i}{\partial x_1} \right) n_1 - T_i \cdot \frac{\partial u_i}{\partial x_1} \right] ds$$

单位方向余弦

● 动态 J 积分与动态能量释放率的关系：

$$J_I^d = G_I^d - \lim_{\Gamma^* \rightarrow 0} \frac{1}{V} \int_{\Gamma^*} \rho \dot{u}_i \cdot \dot{u}_i ds$$

● 动态 J 积分与动态应力强度因子的关系：

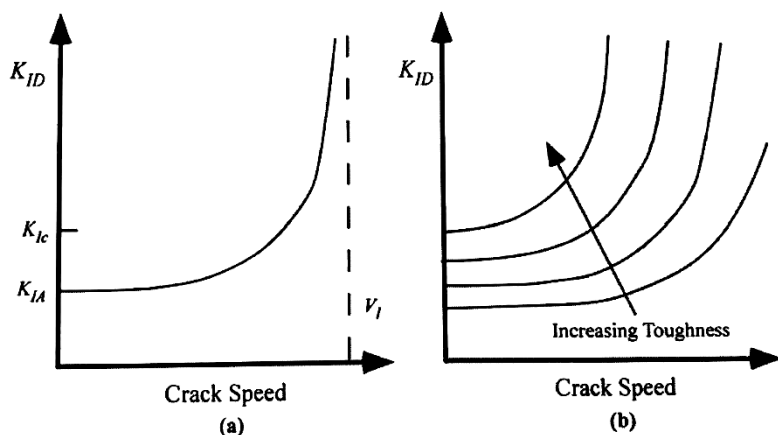
$$J_I^d = \frac{F_I(V)}{2\mu} (K_I^d)^2$$

$$F_I(V) = \frac{\beta_1(1-\beta_2^2)}{D(V)} \left[4\beta_1 - \frac{1}{\beta_1} (1+\beta_2^2)^2 - 4(\beta_1 - \beta_2) \frac{1+\beta_2^2}{\sqrt{(1+\beta_1)(1+\beta_2)}} \right]$$

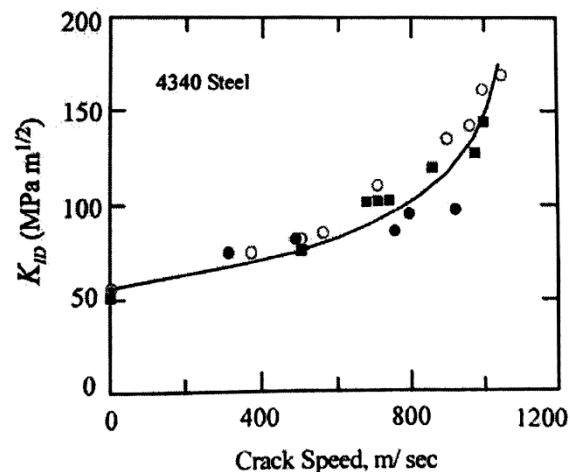
2.3.2.3 动态断裂韧性



快速扩展中的裂纹扩展阻力 K_{ID} ：保持快速扩展中的裂纹继续向前扩展所需要施加的应力强度因子值，因而必然是裂速的函数。



动态断裂韧度与裂纹扩展速度关系示意图



4340钢动态断裂韧度与裂纹扩展速度曲线

经验关系：

$$K_{ID} = \frac{K_{IA}}{1 - \left(\frac{V}{V_l} \right)^m}$$

材料常数

裂纹扩展极限速度

裂纹快速扩展断裂判据



裂纹快速扩展的驱动力，与裂纹尺寸、裂纹扩展速度、结构的几何形状和加载方式有关。由于裂纹尺寸是时间的函数，所以它们也是时间的函数

$$K_I^d > K_{ID}(V, T)$$

$$G_I^d > G_{ID}(V, T)$$

快速裂纹扩展判据实际上是一个控制裂纹运动的关于裂速 V 的超越方程，作为补充条件给出，而使运动边界问题可解。这时一个控制过程的判据。当 K_I^d 和 G_I^d 确定后，可以进行裂纹快速扩展的预测。

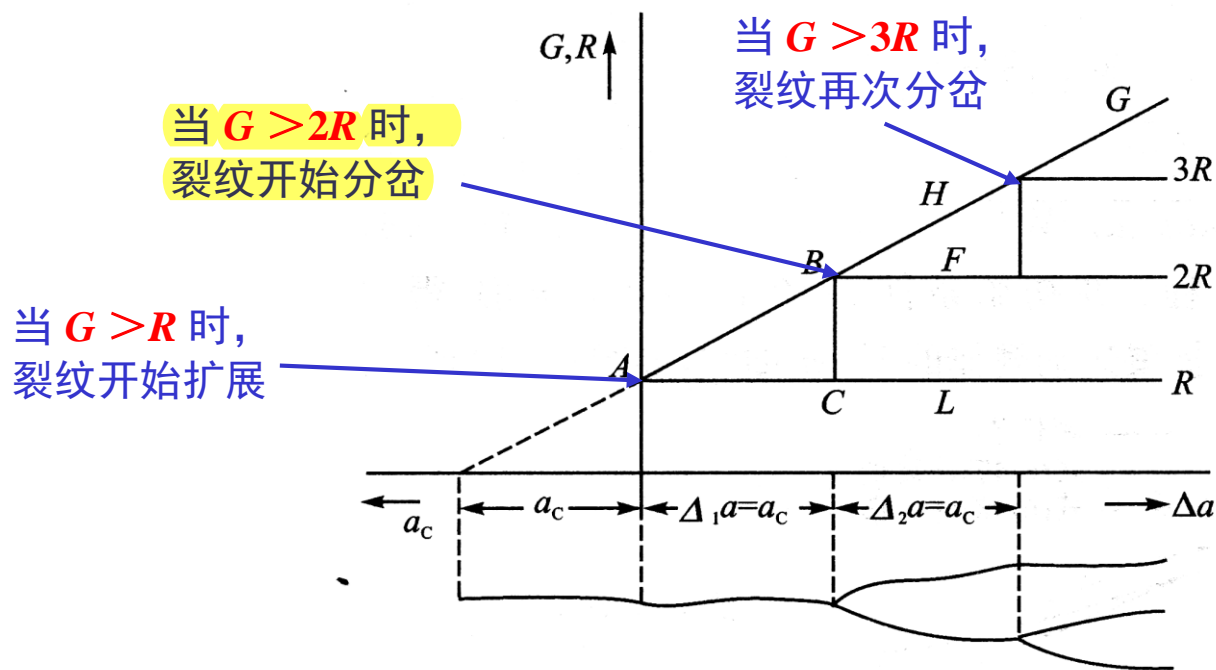
2.3.2.4 裂纹的分岔



裂纹快速扩展时常会发生分岔。裂纹分岔后有两种可能：一是降速而止裂；二是加速而再次分岔。这取决于裂纹扩展能量释放率的高低。

(1) 裂纹分岔的能量释放率判据

① 不考虑动能影响的分岔



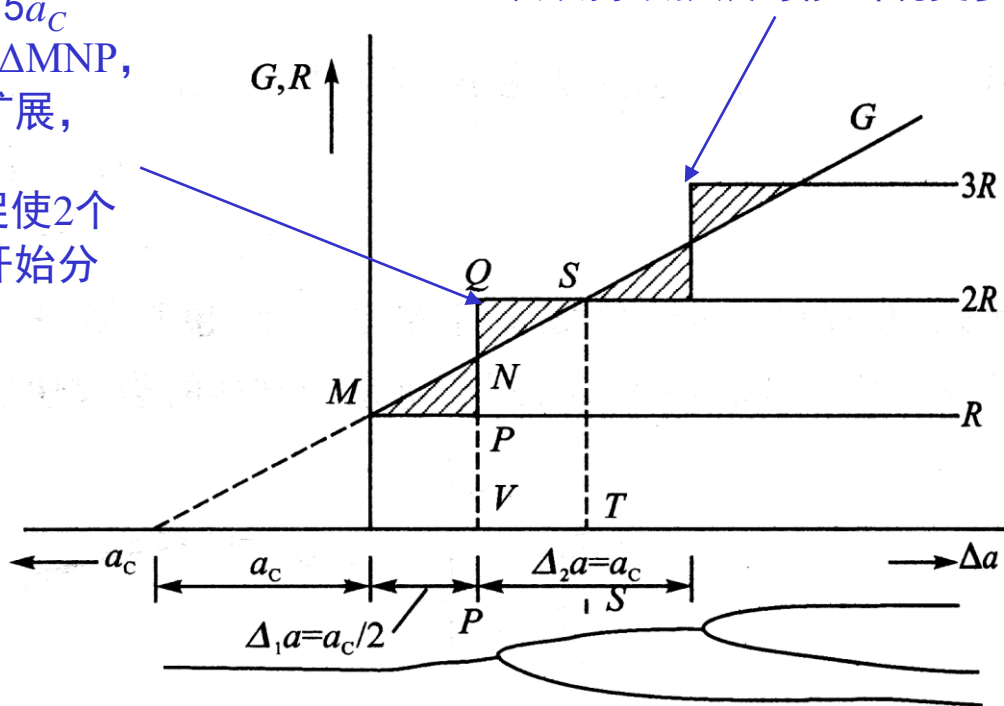
② 考虑动能的裂纹分岔



动能的存在，可使裂纹在较低的扩展速度下发生分岔。

当裂纹扩展 $\Delta a = 0.5a_c$ (P点) 时，动能为 ΔMNP ，它可用于驱动裂纹扩展，此时总的驱动力为 $VN+QN=2R$ ，可以促使2个裂纹扩展，及裂纹开始分岔。

裂纹持续扩展可能出现更多分岔



(2) 裂纹分岔的应力强度因子判据



裂纹分岔时，要求达到临界的分岔应力强度因子 K_{Ib} ，并且裂纹分岔前的扩展速度接近其极限速度。

$$K_I > K_{Ib}$$

$$K_{Ib} \approx 4K_{Ic}$$

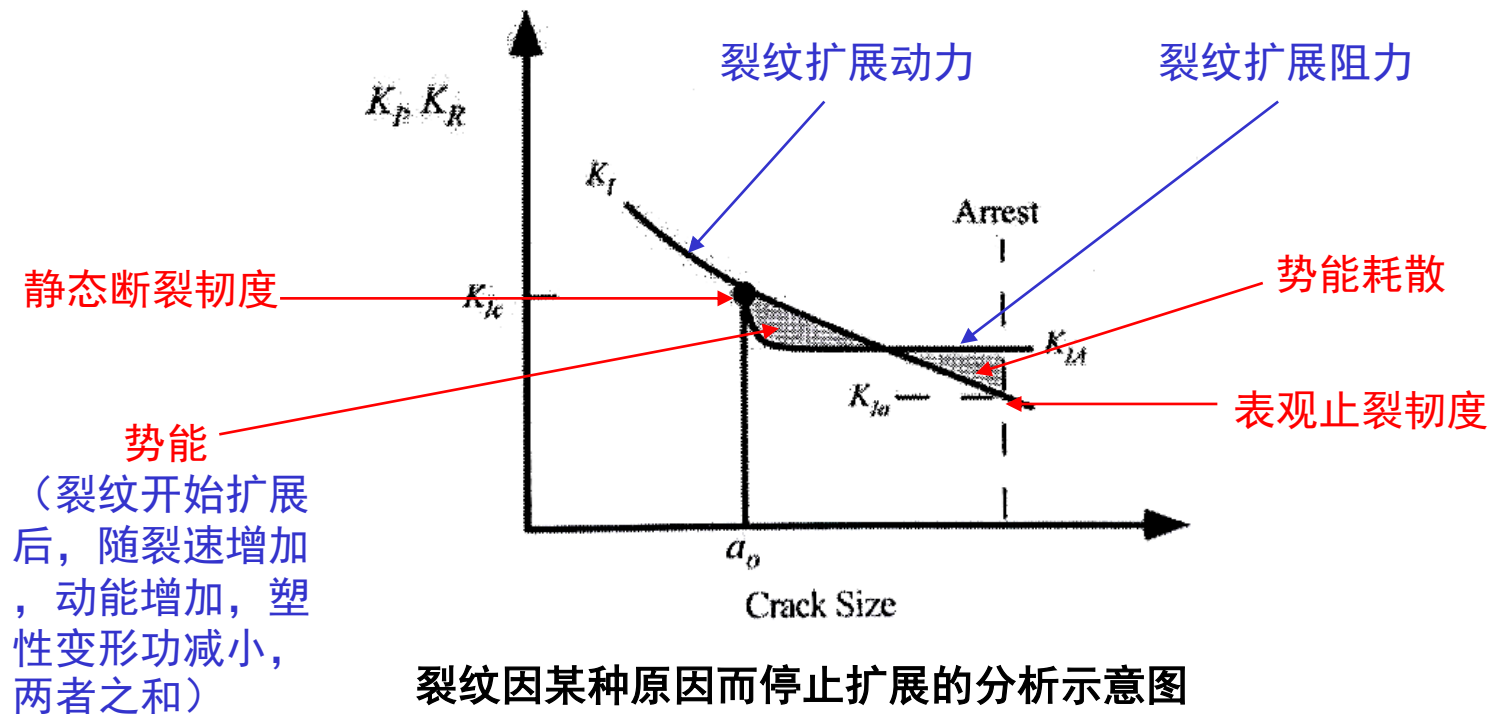
$$V \rightarrow 0.38V_0$$

2.3.2.5 止裂



止裂： 扩展（运动）中的裂纹因某种原因而停止扩展的现象

止裂判据： $K_I^d < K_{ID}(V, T)$



止裂原因及在断裂控制设计中的应用



止裂的原因：

- 裂纹扩展动力随裂纹长度增加而下降
- 裂纹扩展阻力随裂纹长度增加而上升
 - 材料中裂纹扩展遇到韧性相、界面等
 - 材料或结构中存在温度梯度，裂纹由冷区向热区扩展时
 - 结构中裂纹扩展遇到止裂带

断裂控制设计中的“双保险”：

- 起裂控制设计
- 止裂控制设计

(1) 止裂理论中的动态观点



把裂纹快速扩展看成一个完整的过程，而把止裂仅看做这种过程的结束。认为快速扩展的裂纹只能在继续扩展不再可能时才会止裂。

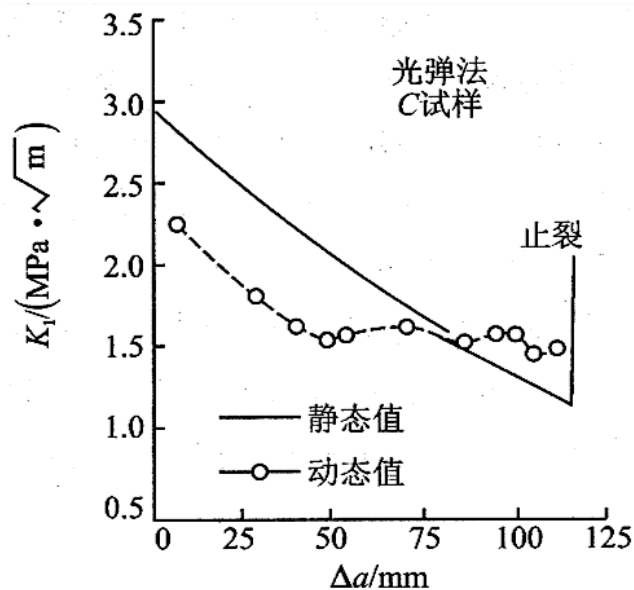
动态观点认为，止裂将发生在 t_0 时刻，此时及随后所有时刻（ $t > t_0$ ），都有 K_I^d 小于扩展断裂韧度 K_{ID} 的最小值：

$$K_I^d(t) \leq \min_{0 < V < C_R} \{K_{ID}(V)\}$$

由运动方程求解的
动态应力强度因子

与裂纹扩展速度有
关的裂纹扩展阻力

(材料性能)



动态光弹法对改进型紧凑拉伸试样的测试结果

(2) 止裂理论中的准静态观点



着眼于止裂瞬间裂纹尖端条件，不考虑裂纹动态扩展过程。根据准静态的观点，材料必然存在一个控制裂纹止裂的参数 K_{Ia} （止裂韧度），则止裂判据为

相应止裂时刻裂纹长度
的静态应力强度因子

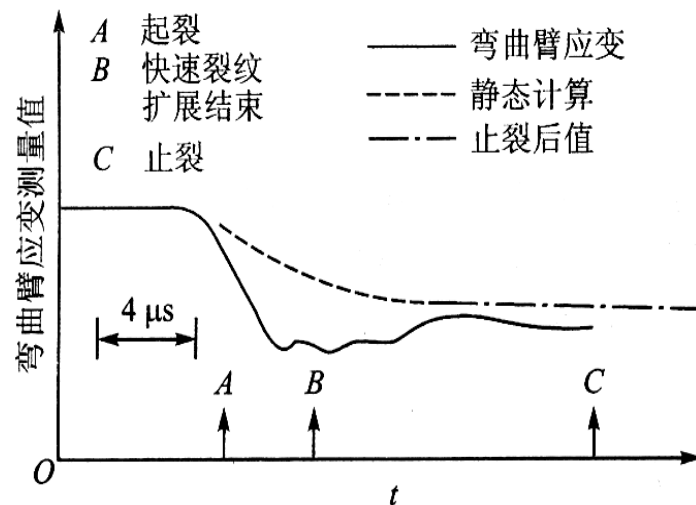
$$K_I^s \leq K_{Ia}$$

按照ASTM E1221-88规范测定的材料（静态）止裂韧度

Crosley将止裂后 $1\mu s$ 的 K 值定义为止裂韧度 K_{Ia} ，认为在此期间裂纹尖端将建立一个接近静态的应力场，这样就避免了求解止裂瞬间动态裂纹尖端应力场的困难。他们提出的止裂判据为：

$$K(0) \leq K_{Ia}(T)$$

按静态计算的裂纹尖端
应力场强度因子



A533 钢矩形双悬臂梁试样 应变和静态分析结果比较

(3) 止裂理论中的能量观点



对扩展中的裂纹，裂纹扩展力可表示为

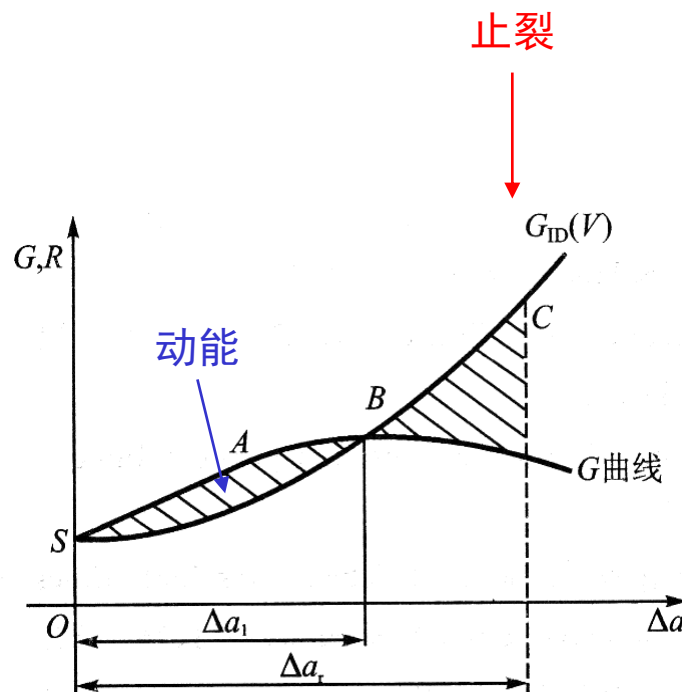
$$G(V) = \frac{dW}{da} - \frac{dU}{da} - \frac{dE_k}{da}$$

裂纹快速扩展条件为：

$$G(V) \geq G_{ID}(V)$$

裂纹止裂条件为：

$$G(V) < G_{ID}(V)$$



裂纹扩展中的能量变化